

宮崎大学工学部 学生員 ○川内 功、南里正博
正員 横田 漢、藤本 廣

1. まえがき

昭和43年のえびの地震以来、地震時におけるシラス層斜面の安定性に関する研究が、土質工学上の重要な課題となり、種々の研究がなされてきた。著者らも先に、F. E. M. による斜面安定解析を行ったが、線形弾性範囲にとどまるものであり、不十分なものであった。今回、その限界をみるために、一つの非線形解析として、C. V. Girijavallabhan の手法²⁾をそのまま斜面に適用して解析を試み、その結果をここに報告する。

2. 解析方法

非線形解析方法として、直接反復法であり、擬弾性係数擬ポアソン比を以下のようにして定める。
等方完全弾性体では、八面体応力、ひずみの間に次式

が成立する。

$$\sigma_{oct} = \frac{1-2\nu}{E} \sigma_{oct} \quad (1)$$

$$\gamma_{oct} = \frac{2(1+\nu)}{E} \epsilon_{oct} \quad (2)$$

式(1)、(2)に、次の仮定を用いて、土の特性(Dilatancy)効果を導入する。

仮定1：等方圧による体積変化を無視する。(軸差応力状態での体積変比だけを考える)

仮定2： $\sigma_{oct}/\sigma_{oct} - \gamma_{oct}$ 曲線は G_3 に無関係である。

仮定1を用いれば、式(1)は、

$$\sigma_{oct} = \frac{1-2\nu}{E} \sigma_{oct} = \frac{1-2\nu}{E} \left(G_3 + \frac{G_1 - G_3}{3} \right)$$

$$= \frac{1-2\nu}{E} \cdot \frac{G_1 - G_3}{3}$$

$$\therefore \frac{\Delta V}{V} = \frac{1-2\nu}{E} (G_1 - G_3) = (1-2\nu) E, \quad (3)$$

式(3)と三軸試験結果より、 ν を求めたのが図-1である。
(表-1 参照)

また、三軸試験結果より、 $\sigma_{oct}/\sigma_{oct} - \gamma_{oct}$ 曲線を求めれば図-2の通りである。(表-1 参照)

仮定2より、 G_3 による相異を無視して、これを一本の曲線とみなす。次に、計算過程では σ_{oct} の値は不明であるので、半無限弾性体での σ_{oct} すなわち、

$$(\sigma_{oct})_{in} = \frac{1}{3} (\gamma_t h + 2\gamma_t h \frac{\nu}{1-\nu}) = \gamma_t h \frac{1+\nu}{3(1-\nu)}$$

(h : 深さ)

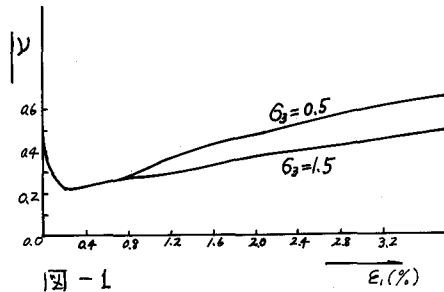


図-1

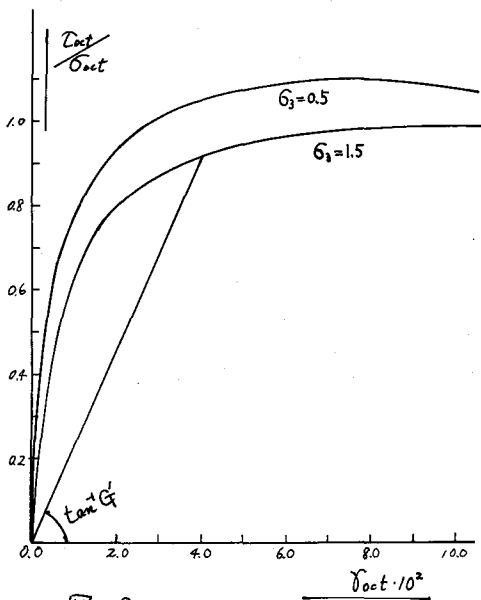


図-2

を用いて

$$T_{act} = (G_{act})_{in G'} Y_{act} = \frac{E}{2(1+\nu)} Y_{act} \text{ より}$$

$$E = 2(1+\nu) \cdot (G_{act})_{in G'} \quad (4)$$

3. 数値計算

図-3(a)に示すような斜面(高さ $H = 2H$, 傾斜角 $\alpha = 63.5^\circ$)を対象とし、作用する荷重はシラス層の自重と地震力として水平震度 K_h を考える。計算に使用した諸定数は表-1に示す通りである。なお、擬似アソン比は ϵ_1, ϵ_3 によってその値を変えるなければならない(図-1)。ここではいずれも

$\gamma = 1/3$ として計算を行つた。

$$f_a = \frac{2Cd \cos \phi_d + (G_1 + \delta_3) \sin \phi_d}{\epsilon_1 - \epsilon_3} \text{ にて安全率を}$$

定義し、斜面高 $H = 35m$ におけるその値を図-3(a)に付記する。 $(K_h = 0, 0)$

図-3(b)に主応力分布図と反復計算過程における第1回め(線形弾性体の解に相当)の主応力値に対する最終状態(収束)の主応力値の比を付記し、非線形の影響を調べたものである。同図より、非線形の影響は無視しうる程度であることが認められる。

引張力が発生すると、その方向の弾性係数はゼロ、直角方向には式(4)よりえられる値を用いて、直交異方性解析を行つた。その結果、引張領域は図-3(a)にみるように、要素②だけしか発生しなかつた。(斜線の部分)なお、 K_h の影響については講演時に発表の予定である。

4. あとがき

斜面にF, E, M非線形解析の適用を試みたが、本数値例($K_h = 0$)ではその影響はあまり認められなかつた。なお、解析は平面歪状態であるにもかかわらず、0~E曲線には軸対称状態を行つたこと、引張領域に対する、0~E曲線を用いた式(4)の関係を用いたこと、最大主応力、最小主応力とも引張力が発生した場合の処置、要素の粗いこと等、まだ不十分な点が種々あり今後の研究課題とした。

(参考文献)

- 1) 藤本・横田「地震時におけるシラス層斜面の安定性」自然災害特別研究研究成果No A-49-1, pp.63~70
- 2) C. V. Girijavallabhan, "Finite-Element method for problems in soil mechanics," A. S. C. E. SM 2, March, 1968

表-1

試料	四象シラス	
2mm以下粒子比重	2.34	図1, 2の
気乾含水比	0.41%	諸定数
Max γ_d	1.152 g/cm ³	$c = 1.029$
Min γ_d	0.816 "	$\gamma_d = 1.660$
max γ_{sat}	1.665 "	$C_d = 0.520$
min ϵ	1.028	$\phi_d = 46.3^\circ$
max ϵ	1.873	

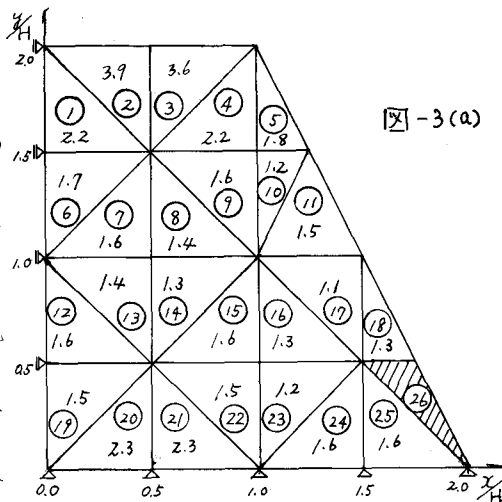


図-3(a)

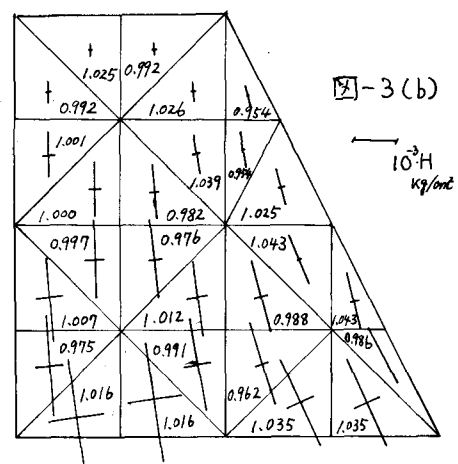


図-3(b)